

# Computer Graphics Zusammenfassung

Lucien Zürcher

December 30, 2018

## Contents

<b>1</b>	<b>Farbe</b>	<b>2</b>	5.8	Parallele Projektion . . . . .	5
1.1	Was ist Farbe? . . . . .	2	5.9	Parallele Projektionsmatrix . . . . .	6
1.2	Farbe eines Objektes . . . . .	2	5.10	Perspektivische Projektion . . . . .	6
1.3	Licht besteht aus? . . . . .	2	5.11	Perspektivische Projektionsmatrix . . . . .	6
1.4	Das Auge . . . . .	2	5.12	Sichtvolumen Clipping . . . . .	6
1.5	Wie sehen wir Farbe? . . . . .	2	<b>6</b>	<b>Curves</b>	<b>6</b>
1.6	Wahrnehmung . . . . .	2	6.1	Kurve in der Ebene . . . . .	6
1.7	Farbsysteme . . . . .	2	6.2	Kurve im Raum . . . . .	6
1.8	Additives Farbsystem . . . . .	2	6.3	Spirale entlang des Zylinders . . . . .	6
1.9	Subtraktives Farbsystem . . . . .	2	6.4	Methode unbestimmte Koeffizienten . . . . .	7
1.10	Farben Konvertieren . . . . .	2	6.5	Lagrange Methode . . . . .	7
1.11	Gamma Korrektur . . . . .	3	6.6	Lineare Bézier spline . . . . .	7
1.12	Normfarbtafel . . . . .	3	6.7	Quadric Bézier spline . . . . .	7
1.13	Helligkeitswahrnehmung . . . . .	3	6.8	Qubic Bézier Spline . . . . .	7
1.14	Nibs (Lichtdichte) . . . . .	3	6.9	Bernsteinpolynome . . . . .	7
1.15	Mach bending . . . . .	3	<b>7</b>	<b>Appendix</b>	<b>7</b>
1.16	Farbtäuschung . . . . .	3	7.1	Radians . . . . .	7
1.17	HD,UHD,UK . . . . .	3			
1.18	Was ist HDR? . . . . .	3			
1.19	Begriffe . . . . .	3			
<b>2</b>	<b>WebGL</b>	<b>3</b>			
2.1	OpenGL Merkmale . . . . .	3			
2.2	Grafikpipeline . . . . .	3			
2.3	Programmierbare Shaders . . . . .	3			
2.4	Vertex Processing . . . . .	4			
2.5	Fragment Processing . . . . .	4			
2.6	Datenfluss . . . . .	4			
2.7	Attribut Variablen und Buffer definieren . . . . .	4			
<b>3</b>	<b>Halbtontechnik</b>	<b>4</b>			
<b>4</b>	<b>Vektoren</b>	<b>4</b>			
4.1	Länge des Vektors . . . . .	4			
4.2	Einheitsvektor . . . . .	4			
4.3	Euklidische Distanz . . . . .	4			
4.4	Achsenabschnitt . . . . .	4			
4.5	Hessische Normalform . . . . .	4			
<b>5</b>	<b>Transformation</b>	<b>4</b>			
5.1	Transformation des Koordinatenystems . . . . .	4			
5.2	homogene Koordinaten . . . . .	4			
5.3	Ebene im Raum . . . . .	4			
5.4	Projektive Transformation . . . . .	5			
5.5	Euklidische Transformationen . . . . .	5			
5.6	Rotation um beliebige Achse . . . . .	5			
5.7	Rotation um eine Achse durch den Ursprung . . . . .	5			

## 1 Farbe

### 1.1 Was ist Farbe?

- **Physikalisch**, Lichtzusammensetzung, Elektromagnetische Strahlen
- **Physiologisch**, Wahrnehmung und Interpretation

Farbe besteht aus:

- Farbton/Farbe
- Farbstich/Sättigung
- Helligkeit

### 1.2 Farbe eines Objektes

Ein Objekt nimmt Farbe auf und strahlt Farbe ab. Die Farbe des Objektes ist definiert durch die abgestrahlte Farbe.

- Beleuchtung (Illumination)
- Reflektion (Reflection)
- Farbsignal (Color Signal)

### 1.3 Licht besteht aus?

Licht besitzt verschiedene Wellenlängen, Kombinationen dieser Frequenzen ergeben eine Farbe.

- Sichtbares Licht (380nm - 780nm)
- Infrarot (780nm+)
- Ultraviolett (<380nm)

$1\text{nm} = 10\text{\AA} (\text{\AA} = \text{Angström})$   
 $1\text{\AA} = \phi \text{Atom}$

### 1.4 Das Auge

Das Auge besteht aus; **Iris** (Muskel und Lichteinschränken), **Linse**, **Pupille** (Kontrolliert Iris) und **Retina** (Farb- und Lichtaufnahme am Rand des Auges)

Die Retina besteht aus 75-100  $10^6$  Stäbchen (Lichtintensität) und 6-7  $10^6$  Zäpfchen (Farbe). Die Fovea ist der dichteste Platz.

### 1.5 Wie sehen wir Farbe?

Durch die 3 Arten von Zäpfchen:

Kurz (S)	Mittel (M)	Lang (L)
Blau	Grün	Rot
440nm	530nm	560nm
1	:	5 : 10

## 1.6 Wahrnehmung

Grün 530nm wird am intensivsten wahrgenommen

Die Helligkeitswahrnehmung zwischen Stäbchen und Zäpfchen ist unterschiedlich

### 1.7 Farbsysteme

- **RGB** (Monitor, Spotlights, Pointilismus), additiv, C = (Rot, Grün, Blau)
- **CMY** (Drucken), subtraktiv, C = (Cyan, Magenta, Yellow)
- **CMYK**, CMY Mit Schwarz erweitert,  $K = \min(\text{Cyan}, \text{Magenta}, \text{Yellow})$   
 $C = C - K, M = M - K, Y = Y - K$
- **HSV**, Farbton (Hue) / Reinheit, Sättigung (Saturation) / Intensität (Value)
- **YUV** (Alte Fernseher, UV = 1/4 Auflösung Farbkorrektur)  
 $Y = 0.229 * R + 0.587G + 0.114 * B,$   
 $U = 0.436(B - Y)/(1 - 0.114),$   
 $V = 0.615(R - Y)/(1 - 0.299)$
- **CIE-Lab**, absolutes Farbsystem  
 Achsensystem mit Helligkeit als Y-Achse und X/Z-Achse definieren Farbunterschiede

### 1.8 Additives Farbsystem

Farben addieren  $(1,1,1) = \text{Weiss}$ ,  $(0,0,0) = \text{Schwarz}$

### 1.9 Subtraktives Farbsystem

Farben absorbieren  $(0,0,0) = \text{Weiss}$ ,  $(1,1,1) = \text{Schwarz}$

### 1.10 Farben Konvertieren

Zu Grau:  $I = 0.229 * R + 0.587G + 0.114 * B$

$$RGB \leftrightarrow CMY: \begin{pmatrix} C \\ M \\ Y \end{pmatrix} = \begin{pmatrix} 1 \\ 1 \\ 1 \end{pmatrix} - \begin{pmatrix} R \\ G \\ B \end{pmatrix}$$

HSV  $\leftrightarrow$  RGB:

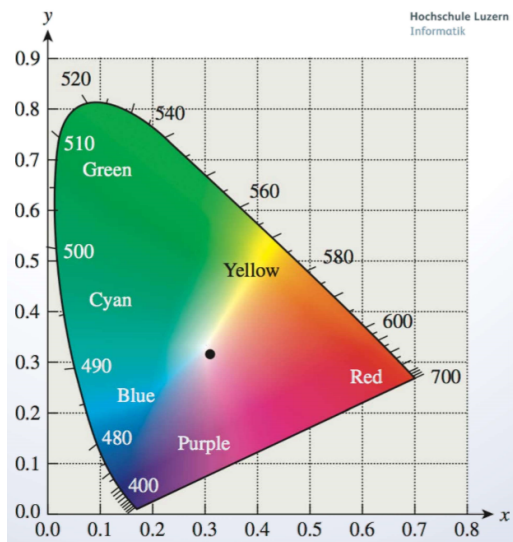
Farbe	H	S	V	R	G	B
Schwarz	—	—	0 %	0 %	0 %	0 %
Rot	0°	100 %	100 %	100 %	0 %	0 %
Gelb	60°	100 %	100 %	100 %	100 %	0 %
Braun	24,3°	75 %	36,1 %	36 %	20 %	9 %
Weiß	—	0 %	100 %	100 %	100 %	100 %
Grün	120°	100 %	100 %	0 %	100 %	0 %
Dunkelgrün	120°	100 %	50 %	0 %	50 %	0 %
Cyan	180°	100 %	100 %	0 %	100 %	100 %
Blau	240°	100 %	100 %	0 %	0 %	100 %
Magenta	300°	100 %	100 %	100 %	0 %	100 %
Orange	30°	100 %	100 %	100 %	50 %	0 %
Violett	270°	100 %	100 %	50 %	0 %	100 %

### 1.11 Gamma Korrektur

Erreichen von gleichmässiger Verteilung der Helligkeit / Kontrast. Das Empfinden der Helligkeit ist nicht linear.

Korrektur der Helligkeit des Bildes mit Gamme Wert. Wichtig für Bildschirme einstellen. Beim einstellen der Monitore Grauwerte mit echten Werten vergleichen (Gamma Test Pattern).

### 1.12 Normfarbtafel



### 1.13 Helligkeitswahrnehmung

Helligkeit wird logarithmisch wahrgenommen, Webers Law

$$\frac{\Delta I}{I} = C$$

$$\log(I + \Delta I) - \log(I) = \text{Const}$$

### 1.14 Nibs (Lichtdichte)

Gibt Helligkeitsdichte für Auge an. 10nits werden stärker wahrgenommen denn 100nits. Heisst, weniger Licht wird stärker wahrgenommen.

### 1.15 Mach bending

Optische Illusion, bei zwei verschiedenen Grauwerten nebeneinander unterschieden sich diese vermeintlich stärker.

### 1.16 Farbtäuschung

Farbe wird abhängig durch Umgebung anders wahrgenommen (Dunkler, Heller). Optische Illusionen

### 1.17 HD,UHD,UK

Unterscheiden sich durch Pixelauflösung.

### 1.18 Was ist HDR?

**High Dynamic Range**, speichert zusätzlichen Wert um Helligkeitsunterschiede besser unterschieden zu können (RGB-Pixelwerte proportional zum Licht). Detailreichere dunkel und helle Spots, weniger Verlust durch Farben mit weniger Helligkeitsunterschiede.

### 1.19 Begriffe

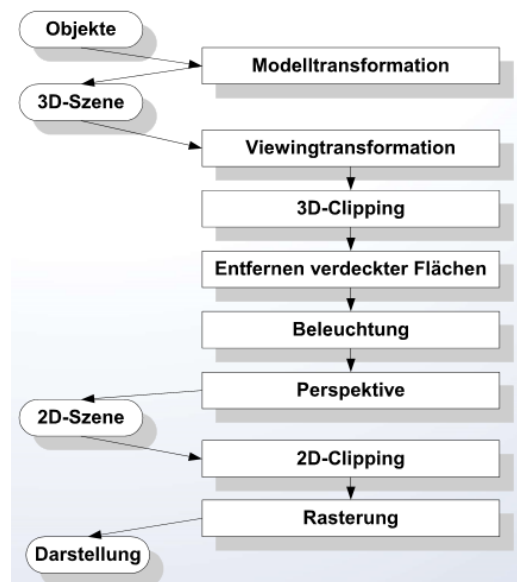
Natürliches Licht	Gemisch aus verschiedenen Lichtwellen / Frequenzen
Spektralfarben	reine Farbfrequenz; Alle Farben am Rand des CIE-Farbsystems
Spektrum	Alle Frequenzen und deren Verteilung
Spektralverteilung	Charakterisiert die Farbe, definiert durch Frequenzen (Bsp. Verschiedenes Weiss)
Komplementärfarben	Addieren ergeben Grau, gegenüberliegende Farben im CIE-Farbsystem

## 2 WebGL

### 2.1 OpenGL Merkmale

- Low Level Graphics API
- Verschiedene Plattformen
- 1.0/2.0 Fixe Funktionspipeline
- Vorlage für WebGL

### 2.2 Grafikpipeline



### 2.3 Programmierbare Shaders

Shaders werden für die Berechnung der zu zeichnenden Objekte verwendet. Das Programm wird direkt auf der Grafikkarte ausgeführt.

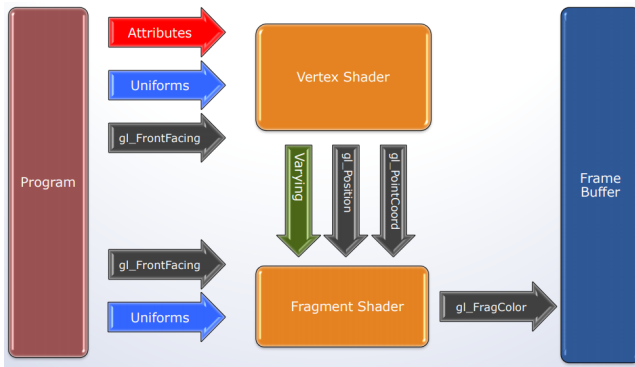
## 2.4 Vertex Processing

Berechnen der Positionen der Vertexe (Punkte) und Werte für den folgenden Fragmentshader.

## 2.5 Fragment Processing

Berechnet die Farbe der einzelnen Pixel.

## 2.6 Datenfluss



## 2.7 Attribut Variablen und Buffer definieren

### Erzeugen

1. Buffer erzeugen (`gl.createBuffer()`)
2. Array Buffer auf Buffer setzen (`gl.bindBuffer(...)`)
3. Daten füllen (`gl.BufferData(...)`)

### Zeichnen

1. Buffer binden
2. Attribut und/oder uniform setzen (`gl.vertexAttribPointer(...)`)
3. Attribut als Array setzen (`gl.enableVertexAttribArray(...)`)
4. Zeichnen (`gl.drawArrays(...)`)

## 3 Halbtontechnik

## 4 Vektoren

- Skalarprodukt
- Matrixprodukt

### 4.1 Länge des Vektors

$$||v|| = \sqrt{v \cdot v}$$

### 4.2 Einheitsvektor

$$e_v = \frac{1}{||v||} \cdot v$$

$(i = e_1, j = e_2, k = e_3)$

### 4.3 Euklidische Distanz

$$AB = \sqrt{(b_1 - a_1)^2 + (b_2 - a_2)^2 + \dots + (b_n - a_n)^2}$$

### 4.4 Achsenabschnitt

Gegeben sind 3 Punkte  $p_x = x, p_y = y, p_z = z$  ergibt Ebenengleichung:

$$\frac{x}{p_x} + \frac{y}{p_y} + \frac{z}{p_z} = 1, \text{ HNF} =$$

### 4.5 Hessische Normalform

TODO

## 5 Transformation

### 5.1 Transformation des Koordinatensystems

TODO

### 5.2 homogene Koordinaten

jeder Punkt  $P(x,y,z)$  des Raumes  $\mathbb{R}^3$  besitzt eine 4-komponenten Vektor  $\vec{r}$

$$\vec{r} = \begin{bmatrix} x_1 \\ x_2 \\ x_3 \\ x_4 \end{bmatrix}, x = \frac{x_1}{x_4}, y = \frac{x_2}{x_4}, z = \frac{x_3}{x_4}$$

$$(x, y, z) = \left( \frac{x_1}{x_4}, \frac{x_2}{x_4}, \frac{x_3}{x_4} \right)$$

### 5.3 Ebene im Raum

Ebene  $\epsilon$  im Raum  $\mathbb{R}^3$

$\epsilon : ax + by + cz + d = 0$  Hessische Normalform

$$\vec{w} = \begin{bmatrix} a \\ b \\ c \\ d \end{bmatrix}, \text{ Punkt: } \vec{r} = \begin{bmatrix} x \\ y \\ z \\ 1 \end{bmatrix}$$

Ebenengleichung:

$$\vec{w} \cdot \vec{r} = w^T \cdot r = ax + by + cz + d = 0$$

## 5.4 Projektive Transformation

Die homogene Matrix  $\mathbf{H}$  ist nur bis auf einen konstanten Faktor bestimmt, heisst, alle Vielfachen von  $\mathbf{H}$  sind auch gültig

$\eta: \mathbb{P}^3 \mapsto \mathbb{P}^3$  stellt eine **projektiven Transformation** dar

$$\eta(r) = \mathbf{H} \cdot r = \begin{bmatrix} h_{11} & h_{12} & h_{13} & h_{14} \\ h_{21} & h_{22} & h_{23} & h_{24} \\ h_{31} & h_{32} & h_{33} & h_{34} \\ h_{41} & h_{42} & h_{43} & h_{44} \end{bmatrix} \cdot \begin{bmatrix} x_1 \\ x_2 \\ x_3 \\ x_4 \end{bmatrix}$$

**Euklidisch** (starre Bewegung)

$$D = \begin{bmatrix} \mathbf{R} & t \\ 0^T & 1 \end{bmatrix}$$

Abstand zwischen zwei Punkten, alle Winkel

$$(R^{-1} = R^T)$$

**Ähnlichkeit**

$$S = \begin{bmatrix} k \cdot \mathbf{M} & t \\ 0^T & 1 \end{bmatrix}$$

Winkel zwischen zwei Punkten, alle Winkel

**Affin**

$$A = \begin{bmatrix} \mathbf{C} & t \\ 0^T & 1 \end{bmatrix}$$

Parallelität, Verhältnis zwischen Volumeninhalt

**Allgemein**

$$\mathbf{H} = \begin{bmatrix} h_{11} & h_{12} & h_{13} & h_{14} \\ h_{21} & h_{22} & h_{23} & h_{24} \\ h_{31} & h_{32} & h_{33} & h_{34} \\ h_{41} & h_{42} & h_{43} & h_{44} \end{bmatrix}$$

Geraden bleiben Geraden

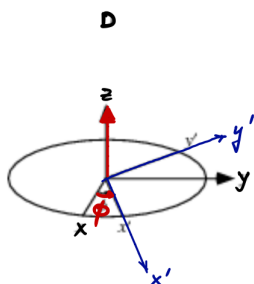
## 5.5 Euklidische Transformationen

TODO Translation, Spiegelung an einer Ebene, Rotation, Zusammensetzen von

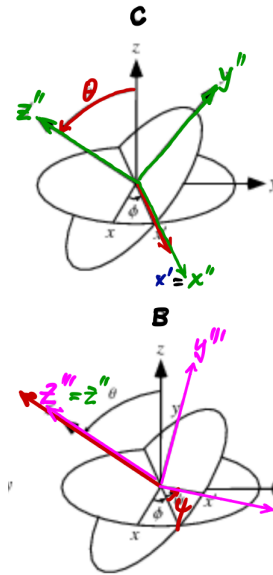
## 5.6 Rotation um beliebige Achse

- 1) Rotation um  $\phi$  um z-Achse (Matrix D)
- 2) Rotation um den Winkel  $\theta \in [0, \pi]$  (um frühere X-Achse) (Matrix C)
- 3) Eigentlich Rotation um den gegebenen Winkel  $\psi$  (Matrix B)

$$c_\alpha = \cos \alpha, s_\alpha = \sin \alpha, \alpha \in \phi, \theta, \psi$$



$$D = \begin{bmatrix} c_\phi & s_\phi & 0 \\ -s_\phi & c_\phi & 0 \\ 0 & 0 & 1 \end{bmatrix}$$



$$D = \begin{bmatrix} 1 & 0 & 0 \\ 0 & c_\theta & s_\theta \\ 0 & -s_\theta & c_\theta \end{bmatrix}$$

$$B = \begin{bmatrix} c_\psi & s_\psi & 0 \\ -s_\psi & c_\psi & 0 \\ 0 & 0 & 1 \end{bmatrix}$$

Danach wieder zurück rotieren um  $\phi$  und  $\theta$

## 5.7 Rotation um eine Achse durch den Ursprung

TODO insert T /  $R_{y,x,z}$

Todo rotation around any axis

Todo alternative, rotation around origin

## 5.8 Parallele Projektion

Projektion auf Ebene  $\epsilon: ax + by + cz + d = 0$

Die Ebene ist definiert durch Normalenvektor  $\vec{n} = \begin{bmatrix} a \\ b \\ c \end{bmatrix}$

Normalenvektor erhalten:  $|\vec{n}| = \sqrt{a^2 + b^2 + c^2} = 1$

Projektionsrichtung definiert durch  $\vec{v} = (v_x, v_y, v_z)$

Normalisieren von Projektionsrichtung:  $|\vec{v}|$

Ist  $|\vec{n}|$  (Ebenen Normalenvektor) und  $|\vec{v}|$  (Projektionsrichtung) gegeben

$$\vec{x} = \vec{x}_0 + t\vec{v}, \text{ komponentenweise } \begin{cases} x = x_0 + tv_x \\ y = y_0 + tv_y \\ z = z_0 + tv_z \end{cases}$$

Wobei  $x_0$  Punkt wo auf x auf Ebene projiziert wird

$\psi$  entspricht Winkel zwischen  $\vec{n}$  und  $\vec{v}$

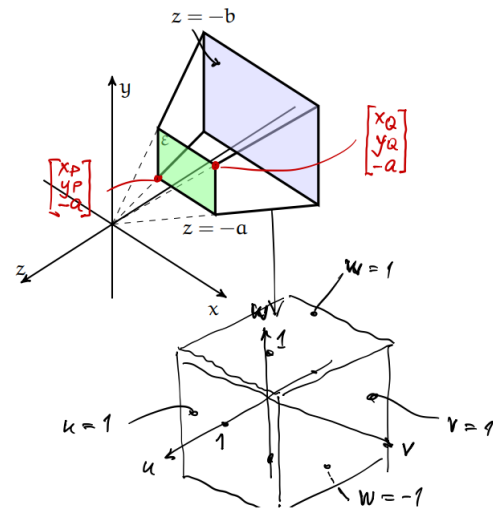
$$\cos(\psi) = \vec{v} \cdot \vec{n}$$

TODO - Gleichung t t\*

## 5.9 Parallele Projektionsmatrix

$$\begin{bmatrix} x^* \\ y^* \\ z^* \end{bmatrix} = \mathbf{H} \begin{bmatrix} x_0 \\ y_0 \\ z_0 \end{bmatrix} = \frac{1}{c_\psi} \begin{bmatrix} (c_\psi - av_x) & -bv_x & -cv_x & -dv_x \\ -av_y & (c_\psi - bv_y) & -cv_y & -dv_y \\ -av_z & -bv_z & (c_\psi - cv_z) & -dv_z \\ 0 & 0 & 0 & c_\psi \end{bmatrix} \begin{bmatrix} x_0 \\ y_0 \\ z_0 \\ 1 \end{bmatrix}$$

$\cos(\psi) = c_\psi$



## 5.10 Perspektivische Projektion

Fall wenn Zentrum  $O$  im Nullpunkt

$$\epsilon : ax + by + cz + d = 0, \text{ Ebene}$$

Beliebigen Punkt  $A_0(x_0, y_0, z_0)$  mit Projektionspunkt  $A^*(x^*, y^*, z^*)$  in Ebene  $\epsilon$

$$\begin{bmatrix} x^* \\ y^* \\ z^* \end{bmatrix} = \begin{bmatrix} \lambda x_0 \\ \lambda y_0 \\ \lambda z_0 \end{bmatrix}$$

$$\lambda = -\frac{d}{ax_0 + by_0 + cz_0}$$

$$(ax_0 + by_0 + cz_0) \cdot \begin{bmatrix} x^* \\ y^* \\ z^* \\ 1 \end{bmatrix} = \begin{bmatrix} -dx_0 \\ -dy_0 \\ -dz_0 \\ ax_0 + by_0 + cz_0 \end{bmatrix} = \begin{bmatrix} -d & 0 & 0 & 0 \\ 0 & -d & 0 & 0 \\ 0 & 0 & -d & 0 \\ a & b & c & 0 \end{bmatrix} \begin{bmatrix} x_0 \\ y_0 \\ z_0 \\ 1 \end{bmatrix}$$

## 5.11 Perspektivische Projektionsmatrix

$$\mathbf{H} = \begin{bmatrix} -d & 0 & 0 & 0 \\ 0 & -d & 0 & 0 \\ 0 & 0 & -d & 0 \\ a & b & c & 0 \end{bmatrix}$$

## 5.12 Sichtvolumen Clipping

Das kanonische Sichtvolumen ist ein Würfel mit  $P(\pm 1, \pm 1, \pm 1)$

Dafür sind vorne und hinten, sowie zwei Punkte bestimmend Grösse gegeben

$P$  links unten,  $Q$  rechts oben

$z$  vorne  $z = -a$ ,  $z$  hinten  $z = -b$

$$\mathbf{T} = \begin{bmatrix} \frac{2a}{x_Q - x_P} & 0 & \frac{x_Q + x_P}{x_Q - x_P} & 0 \\ 0 & \frac{2a}{y_Q - y_P} & \frac{y_Q + y_P}{y_Q - y_P} & 0 \\ 0 & 0 & -\frac{b+a}{b-a} & -2\frac{ba}{b-a} \\ 0 & 0 & -1 & 0 \end{bmatrix}$$

## 6 Curves

### 6.1 Kurvie in der Ebene

Explizite Darstellung

$$\gamma : [a, b] \rightarrow \mathbb{R}, x \mapsto y = f(x)$$

Kreis:

$$\text{oberer Halbkreis } \sqrt{r^2 - x^2}$$

$$\text{unterer Halbkreis } -\sqrt{r^2 - x^2}$$

Implizite Darstellung

$$F(x, y) = 0$$

$$\text{Kreis: } x^2 + y^2 - r^2 = 0$$

Parameterdarstellung

$$\gamma : [a, b] \rightarrow \mathbb{R}^2, t \mapsto X(t) = \begin{bmatrix} x_1(t) \\ x_2(t) \end{bmatrix}$$

Punkte miteinander verbunden, einzeln angeben

$$\text{Kreis: } \begin{bmatrix} r \cos t \\ r \sin t \end{bmatrix}$$

### 6.2 Kurve im Raum

$$\gamma : [a, b] \rightarrow \mathbb{R}^3, t \mapsto X(t) = \begin{bmatrix} x_1(t) \\ x_2(t) \\ x_3(t) \end{bmatrix}$$

### 6.3 Spirale entlang des Zylinders

$$x^2 + y^2 = r^2$$

$$\gamma : [0, 4\pi] \rightarrow \mathbb{R}^3, t \mapsto X(t) = \begin{bmatrix} r \cos t \\ r \sin t \\ ht/(2\pi) \end{bmatrix}$$

Grundriss ergibt Kreis, Höhe Linear

## 6.4 Methode unbestimmte Koeffizienten

$$P_3(x) = c_0 + c_1x^2 + c_2x^2 + c_3x^3$$

$$\begin{bmatrix} 1 & x_0 & x_0^2 & x_0^3 \\ 1 & x_1 & x_1^2 & x_1^3 \\ 1 & x_2 & x_2^2 & x_2^3 \\ 1 & x_3 & x_3^2 & x_3^3 \end{bmatrix} \begin{bmatrix} c_0 \\ c_1 \\ c_2 \\ c_3 \end{bmatrix} = \begin{bmatrix} y_0 \\ y_1 \\ y_2 \\ y_3 \end{bmatrix}$$

$$c_0 = c_1 = c_2 = c_3 = 1$$

## 6.5 Lagrange Methode

$$l_0(x) = (x - x_1)(x - x_2) \dots$$

$$L_0(x) = \frac{l_0(x)}{l_0(x_0)} = \frac{(x - x_1)(x - x_2) \dots}{(x_0 - x_1)(x_0 - x_2) \dots}$$

$$P_n(x) = y_0 L_0(x) + y_1 L_1(x) + \dots + y_n L_n(x)$$

$$l_k(x) = \prod_{i=0, i \neq k}^n (x - x_i)$$

$$L_k(x) = \frac{l_k(x)}{l_k(x_k)}$$

## 6.6 Lineare Bézier spline

$$P(t) = (1 - t)P_0 + P_1 (0 \leq t \leq 1)$$

*Gewichteter Durchschnitt der Kontrollpunkte*

$$P(t) = (P_1 - P_0)t + P_0$$

*Polynom in t*

$$P(t) = [P_0, P_1] \begin{bmatrix} -1 & 1 \\ 1 & 0 \end{bmatrix} \begin{bmatrix} t \\ 1 \end{bmatrix} (0 \leq t \leq 1)$$

*Matrizform*

## 6.7 Quadric Bézier spline

*drei Kontrollpunkte  $P_0, P_1, P_2$*

$$P_0^1(t) = (1 - t)P_0 + P_1$$

$$P_1^1(t) = (1 - t)P_0 + P_1$$

$$P(t) = (1 - t)^2 P_0 + 2(1 - t)t P_1 + t^2 P_2$$

## 6.8 Qubic Bézier Spline

*vier Kontrollpunkte  $P_0, P_1, P_2, P_3$*

*Mit  $P_0^1, P_1^1$  und*

$$P_2^1(t) = (1 - t)P_2 + tP_3$$

$$P_1^2(t) = (1 - t)P_0^1(t) + tP_1^1(t)$$

$$P_2^2(t) = (1 - t)P_1^1(t) + tP_2^1(t)$$

$$P(t) = (1 - t)^3 P_0 + 3(1 - t)^2 t P_1 + 3(1 - t)t^2 P_2 + t^3 P_3$$

## 6.9 Bernsteinpolynome

### 7 Appendix

#### 7.1 Radians

Winkel $\alpha^\circ$	Bogenmass	Sinus	Kosinus
$0^\circ$	0	$\frac{1}{2}\sqrt{0} = 0$	$\frac{1}{2}\sqrt{4} = 1$
$30^\circ$	$\frac{\pi}{6}$	$\frac{1}{2}\sqrt{1} = \frac{1}{2}$	$\frac{1}{2}\sqrt{3}$
$45^\circ$	$\frac{\pi}{4}$	$\frac{1}{2}\sqrt{2} = \frac{1}{\sqrt{2}}$	$\frac{1}{2}\sqrt{2} = \frac{1}{\sqrt{2}}$
$60^\circ$	$\frac{\pi}{3}$	$\frac{1}{2}\sqrt{3}$	$\frac{1}{2}\sqrt{1} = \frac{1}{2}$
$90^\circ$	$\frac{\pi}{2}$	$\frac{1}{2}\sqrt{4} = 1$	$\frac{1}{2}\sqrt{0} = 0$
$180^\circ$	$\pi$	0	-1
$270^\circ$	$\frac{3\pi}{2}$	-1	0
$360^\circ$	$2\pi$	0	1

$$\cos^2(\alpha) = \frac{1}{1 + \tan^2(\alpha)}, \sin^2(\alpha) = \frac{\tan^2(\alpha)}{1 + \tan^2(\alpha)}$$